

## V-413 A-E 解析によるコンクリートの引張軟化過程の考察

福島工業高等専門学校 正員 山ノ内正司  
 東北大学大学院工学研究科 正員 岸野 佑次  
 東北大学大学院工学研究科 正員 新関 茂

## 1. はじめに

コンクリートのひび割れ進展の特徴は、微細なひび割れが空間的に累積し、拡大していく点にある。この微細なひび割れの累積過程を力学モデルとして表したもののが引張軟化則であり、コンクリート構造物のひび割れ過程を数値解析する際の構成則として重要な役割を担っている。

本研究では、引張軟化領域の微細なひび割れの累積過程を明らかにすることを目的に、コンクリートばかりの3点曲げ試験における8チャンネルA-E解析と引張軟化曲線の逆解析を行い、A-E発生源の空間分布とA-Eエネルギーに基づいて、コンクリートの引張軟化過程における準微視的レベルの破壊メカニズムを考察した。

## 2. 実験方法

表-1に示す配合で、寸法20cm×10cm×90cmの高強度コンクリート供試体を作成し、3点曲げ試験を行った。供試体が不安定破壊に至らないように、A-E事象数が急増し始めた後に除荷し、再び載荷する履歴載荷方式を採用した。中央点下部のたわみ、ノッチ部の肩口開口変位(CMOD)、荷重を計測した。A-E計測の詳細は参考文献1)と同様であるため割愛する。

## 3. 結果および考察

図-1に、荷重～肩口開口変位(CMOD)曲線、および累積A-E事象数の変化を示す。数字は履歴載荷のサイクル数を表している。多直線近似法<sup>2)</sup>により推定された引張軟化曲線を図-3に示す。

本研究では、1事象のA-Eエネルギー $E_{AE}$ を式(1)により定義した。 $V_{pi}$ はセンサー番号*i*のA-E波形の最大振幅、 $R_i$ はセンサー番号*i*から破壊源までの距離、 $K_i$ はセンサーの相対感度、 $n$ はローカルプロセッサにおいてA-Eをヒットしたチャンネル総数を表している。

$$E_{AE} = \frac{1}{n} \sum_{i=1}^n (V_{pi} / K_i)^2 \cdot R_i \quad (1)$$

図-2は、骨材周辺および骨材からのA-E発生状況を示したものである。網かけのパターンは、破断面の割れのタイプを観察して得られたクラックの分布図を表しており、記号**b**はボンドクラックを、**m**はモルタルクラックを、**a**は骨材クラックを表している。円の面積がA-Eエネルギーの大きさを表している。

A-E発生源の動きを見ると、載荷サイクル6～7で骨材下部のモルタル部から活性化し始めたA-Eが、その後、載荷サイクル10まで骨材に沿うように上部に移動し、次に、骨材近傍のモルタル部の結合応力が失引張軟化過程、A-E位置標定、A-Eエネルギー、クラック形成エネルギー

| G <sub>max</sub><br>mm | W/C<br>% | s/a<br>% | 単位量 (kg/m <sup>3</sup> ) |     |     |       |           | 9 |
|------------------------|----------|----------|--------------------------|-----|-----|-------|-----------|---|
|                        |          |          | W                        | C   | S   | G     | 高性能A-E減水剤 |   |
| 20                     | 29.6     | 35.6     | 148                      | 500 | 600 | 1,136 |           |   |

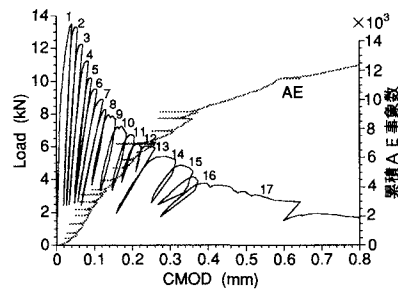


図-1 荷重～CMOD曲線および累積A-E事象数曲線

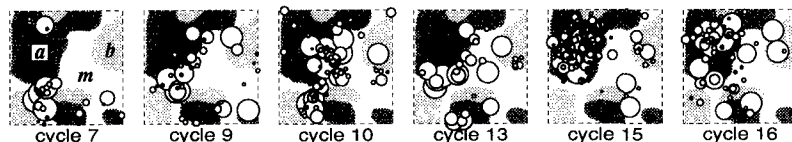


図-2 骨材周辺および骨材からのA-E発生状況  
 表示領域のX Z座標：左下(-5cm, 9cm)～右上(-1cm, 13cm)

われたと考えられる載荷サイクル13から再び骨材下部の領域が活性化し始め、載荷サイクル15～16では骨材内部に集中していく様子が見て取れる。

次に、累積AEエネルギーと引張軟化過程の定量的な関係について考察する。まず計算処理を簡単にするために、破断面を5mm間隔で区切ってクラックの分布をデジタル化し、AE発生源を近似的に同定した。図-4、図-5に現れる記号  $m/b$ ,  $a/m$ ,  $a/b$ は、例えば、 $a/m$ は骨材クラックとモルタルクラックの2つの割れが混在していた要素からのAEであることを表している。

図-3に示すように引張軟化過程途中の点*i*までに消費されたエネルギー  $G_f^*$  を、*i*点と残留開口変位  $w_{ri}$  を結ぶ直線上の面積として定義した。このエネルギー  $G_f^*$  を、Schornら<sup>3)</sup>に従って、クラック形成エネルギーと呼ぶことにする。

図-4は、高さ方向の座標  $Z=3\text{cm}$ を中心とする高さ2cm、幅10cmの長方形領域から発生したAEについて、クラック別累積AEエネルギーの開口変位の増加に伴う変化を示したものであり、積み重ね折れ線グラフとして表している。図より、AEエネルギーの累積過程とクラック形成エネルギーの変化がほとんど同じ構造をしていることが明らかになった。AEエネルギーとクラック形成エネルギーの物理的な対応関係は未だ明らかにされていないが、両者の構造が良く一致することから、ここではクラック形成エネルギーのスケールを図のように定めた。その結果、他の領域においても、引張軟化初期（開口変位  $COD \leq 0.06\text{mm}$ ）の開口変位の増加に伴う累積AEエネルギーの変化は、クラック形成エネルギーと同じであり、その点までの総AEエネルギー量は、およそ  $12,000 \sim 14,000$  であった。このことは、本研究で提案したAEエネルギーが、引張軟化過程における損傷を定量的に評価できることを示唆するものである。

図-5に、 $Z=10\text{cm}$ の長方形領域における単位面積当りのクラック別累積AEエネルギーの変化を示す。骨材とモルタルの混在領域（記号  $a/m$ ）からのAEが開口変位  $0.03\text{mm}$ まで急激に増加し、その後、開口変位が  $0.08\text{mm}$ になると骨材（記号  $a$ ）からのAEが活性化している。これは、図-2の骨材のブリッジング機構をAEエネルギーによって定量的に表したものである。また、単位面積当りの骨材部が完全に結合応力を失うまでに発生するAEエネルギーは、モルタルの2～3倍であった。

#### 4. おわりに

本文では、AE発生源の空間分布とAEエネルギーに基づいて、コンクリートの引張軟化過程における準微視的レベルの破壊メカニズムを考察した。今後は、各種コンクリートの内部構造が引張軟化特性に及ぼす影響を準微視的レベルから明らかにしていきたいと考えている。

参考文献：1) 太田・山ノ内、平成8年度土木学会東北支部技術研究発表講演概要、pp.588-589、1997

2) Kitsutaka,Y., Fracture Mechanics of Concrete Structures, FRAMCOS 2, Vol.I, pp.199-208, 1995

3) Schorn,H. et al., Fracture Mechanics of Concrete Structures, FRAMCOS 3, Vol.III, pp.1695-1704, 1998

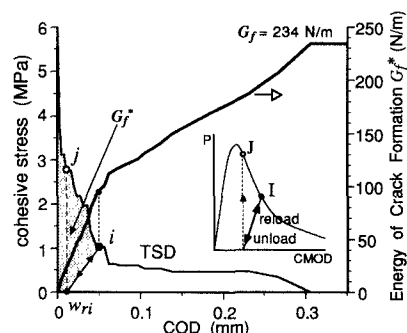


図-3 引張軟化曲線（TSD）およびクラック形成エネルギーの定義

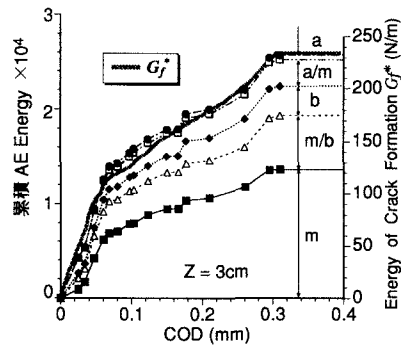


図-4  $Z=3\text{ cm}$ を中心とする領域の累積AEエネルギーの変化

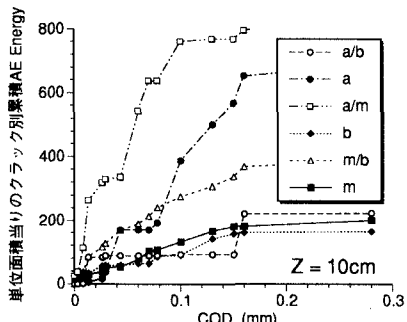


図-5  $Z=10\text{ cm}$ を中心とする領域の単位面積当りのクラック別累積AEエネルギーの変化